

Общая физика

УДК 539.164, 539.165

Потеря устойчивости тяжелых ядер в сверхсильном магнитном поле

Д. В. Филиппов, Л. И. Уруцкоев, А. О. Бирюков, А. А. Рухадзе, П. В. Белоус

Рассмотрено влияние внешнего однородного постоянного сверхсильного магнитного поля $H \gg H_0 = c m_e^2 e^3 \hbar^{-3}$ на устойчивость тяжелых ядер. Показано, что при помещении ряда стабильных тяжелых ядер в сверхсильное магнитное поле может стать заметной вероятность распада ядра по каналу, при котором происходит одновременное рождение α -частицы и β -электрона в связанном состоянии.

PACS: 23.40.-s, 23.60.+e

Ключевые слова: альфа-распад, бета-распад, слабые взаимодействия, сверхсильное магнитное поле.

Введение

Исследование влияния электронной оболочки атома на процессы, происходящие в ядре, является актуальным и интенсивно развивающимся направлением современной ядерной физики низких энергий. Еще в 1947 г. Э. Сегре обратил внимание на то, что время жизни ядра, распадающегося с поглощением орбитального электрона (e -захват), должно зависеть от химического окружения, в котором находится ядро [1]. Он предложил измерить и сравнить периоды полураспада металлического ^{7}Be и, соответственно, ^{7}Be в составе химического соединения. Уже в 1949 г. (Сегре, Виганд) [2] и в 1951 г. (Бэйнбридж, Голдхабер) [3] были получены надежные экспериментальные результаты, в которых зарегистрированы изменения периодов полураспада, соответственно, ^{7}Be и метастабильного ^{99m}Tc вследствие различия конфигураций атомных электронных оболочек в разных химических соединениях.

Филиппов Дмитрий Витальевич, ведущий научный сотрудник.

Уруцкоев Леонид Ирбекович, главный научный сотрудник.

Бирюков Артем Олегович, аспирант.

Московский государственный университет печати.

Россия, 127550, Москва, ул. Прянишникова, 2А.

E-mail: filippov-atom@ya.ru

Рухадзе Анри Амвросьевич, главный научный сотрудник.

Институт общей физики РАН.

Россия, 119991, Москва, ул. Вавилова, 38.

E-mail: rukh@fpl.gpi.ru

Белоус Павел Виталиевич, студент.

Московский физико-технический институт.

Россия, 141700, МО, г. Долгопрудный, Институтский пер., 9.

E-mail: p.v.belous@gmail.com

Статья поступила в редакцию 22 марта 2012 г.

© Филиппов Д. В., Уруцкоев Л. И., Бирюков А. О.,
Рухадзе А. А., Белоус П. В., 2012

Следующий заметный шаг в понимании роли электронной оболочки атома в ядерных процессах был сделан в 60-е годы XX века, когда была развита теория дополнительного канала β^- -распада, а именно, β^- -распада в связанное состояние электрона [4]. При таком распаде β -электрон не покидает атом, а занимает свободную орбиту. Распад в связанное состояние дополнительно увеличивает фазовый объем конечных состояний и, следовательно, увеличивает вероятность β^- -распада. Очевидно, что ионизация атома освобождает связанные атомарные состояния электронов и приводит к увеличению вероятности β -распада в связанное состояние электрона, а значит, и к уменьшению периода β -распада.

Долгое время считалось, что влияние атомных электронов на β^\pm -распад является лишь малой поправкой [5]. Однако результаты экспериментальных работ [6, 7] развеяли это заблуждение. Так, в работе [7] был исследован процесс β^- -распада полностью ионизованного ^{187}Re . Оказалось, что полная ионизация уменьшила период полураспада ^{187}Re в 10^9 раз ($4,3 \cdot 10^{10}$ лет для нейтрального атома, 33 года для полностью ионизованного атома). Дальнейшие исследования показали, что электрическое поле атомных электронов влияет на вероятности ядерных распадов всех типов. Так как β^- -распад в связанное состояние является процессом, противоположным e -захвату, расчет отношения вероятностей β^- -распада в связанное состояние λ_b и в состояния непрерывного спектра λ_c аналогичен классическому расчету отношения вероятностей e -захвата к вероятности позитронного β^+ -распада.

Ионизация атома — это не единственный и, по-видимому, не самый эффективный способ увеличить плотность свободных электронных состояний

в области ядра. В ряде работ [8] Кадомцев обратил внимание на перестройку атомных электронов в сверхсильных магнитных полях с напряженностью $H \gg H_0 = c m_e^2 e^3 \hbar^{-3} \approx 2,35 \cdot 10^9$ Э. При таких полях лармировский радиус электрона r_L в магнитном поле мал по отношению к боровскому радиусу R_B , а энергия циклотронного вращения $\frac{1}{2} \hbar \Omega_C$ велика по сравнению с потенциалом ионизации атома водорода I_H .

Далее для изложения будем пользоваться релятивистской системой единиц, где $\hbar = c = m_e = 1$, причем c — скорость света, m_e и e — масса и заряд электрона, \hbar — постоянная Планка. Применительно к обсуждаемой ситуации ряд основных соотношений в релятивистских единицах выглядит следующим образом:

$$\begin{aligned} H \gg H_0 &= \alpha^{3/2}, \quad eH_0 = \alpha^2, \quad r_L = (eH)^{-1/2}, \\ R_B &= \alpha^{-1}, \quad \Omega_C = eH, \quad I_H = \frac{1}{2} \alpha^2, \quad e = \sqrt{\alpha}, \end{aligned} \quad (1)$$

где α — постоянная тонкой структуры. (Отметим, что в гауссовой системе $\alpha = \frac{e^2}{\hbar c} \approx \frac{1}{137}$.)

В рассматриваемом случае взаимодействие атомных электронов с внешним магнитным полем становится сильнее кулоновского взаимодействия с ядром. Движение электрона в постоянном однородном сверхсильном магнитном поле и центральном электрическом описывается суперпозицией двух движений: в плоскости, перпендикулярной магнитному полю, — это движение по уровням Ландау [9, 10]; вдоль направления магнитного поля — одномерное кулоновское движение.

Такие сверхсильные магнитные поля стали обсуждаться в связи с открытием нейтронных звезд. Предполагается, что индукция магнитного поля нейтронных звезд достигает величины 10^{13} Гс. Исследованию нейтронных звезд в настоящее время уделяется большое внимание [11]. При этом основные обсуждаемые вопросы касаются протекания ядерных процессов (включая распады с участием слабых взаимодействий) в сверхсильных магнитных полях, так как эти процессы определяют излучение и динамику звезд.

В земных условиях сверхсильные импульсные магнитные поля достижимы в мощных фемтосекундных лазерах [12]. Плотность энергии на мишени в импульсе длительностью меньше 100 фс достигает 10^{20} Вт/см², что соответствует напряженности магнитного поля до 10^9 Э [13]. Экспериментально подтверждено наличие магнитного поля с индукцией $(0,7 \pm 0,1) \cdot 10^9$ Гс [14]. Несмотря на малое время воздействия ($\sim 10^{-13}$ с), этой длительности достаточно для протекания атомных

процессов [12—15] (где характерное время, соответствующее энергии 5 эВ, составляет $\sim 10^{-16}$ с) и наблюдения изменения периодов ядерных распадов.

Корректное рассмотрение увеличения вероятности β -распада атома, помещенного в сверхсильное магнитное поле, для тяжелых атомов может проводиться только в рамках уравнения Дирака. Одной из первых работ в этом направлении является [16], где в рамках уравнения Дирака исследован спектр связанных состояний электронов в кулоновском поле ядра и внешнем магнитном поле, но только для основного состояния по-перечного движения. В [17] решено уравнение Дирака для электрона в центральном электрическом поле ядра и внешнем однородном магнитном поле не только для основного, но и для возбужденных уровней по-перечного движения.

В работах [17, 18] рассмотрен не только разрешенный β -распад нейтрона, но и разрешенные и запрещенные распады различных ядер в присутствии внешнего сверхсильного магнитного поля с учетом связанных состояний β -электрона в электрическом поле ядра. Показано, что плотность состояний непрерывного спектра не зависит от величины магнитного поля, а плотность состояний дискретного спектра электронов возрастает, и именно за счет этого возрастает вероятность распада β -активных ядер во внешнем сверхсильном магнитном поле.

Поскольку физический механизм рождения запаздывающих нейтронов (ЗН) ядер-излучателей напрямую связан с процессами β -распада, то в работе [19] был поставлен вопрос о возможности изменения доли ЗН. В дальнейшем в [20] доказано, что доля ЗН увеличивается при ионизации атомов и при наложении на атом внешнего сверхсильного магнитного поля [21].

Совсем недавно появился ряд экспериментальных работ, в которых сообщается о наблюдении изменения периода α -распада тория и урана, находящихся в солевых растворах, при облучении пикосекундным лазерным излучением [22]. Теоретическому рассмотрению вопроса об устойчивости атома по отношению к α -распаду при помещении его в сверхсильное магнитное поле и посвящена данная работа.

Классическая теория α -распада

Кратко напомним классическую теорию α -распада [10, 23]. Вероятность α -распада пропорциональна произведению вероятности формирования α -частицы внутри ядра у его поверхности P_α и вероятности последующего туннельного прохождения α -частицы через потенциальный барьер D_α .

Вероятность формирования α -частицы рассчитывается в рамках оболочечной модели ядра [23] как квадрат матричного элемента перехода M_α из исходного состояния ядра в состояние, когда четыре нуклона образуют α -частицу. В рамках оболочечной модели волновые функции нуклонов, образовавших α -частицу, уже не являются собственными волновыми функциями состояний частиц на определенных орбитах ядра. Другими словами, можно считать, что нуклоны (два нейтрона и два протона) уничтожились при образовании α -частицы, а амплитуда перехода пропорциональна перекрытию волновых функций рожденной α -частицы и уничтоженных нуклонов:

$$\begin{aligned} P_\alpha &\propto |M_\alpha|^2, \\ M_\alpha &\propto \int_N \bar{\Psi}_f \times \\ &\times \left\{ \sum_{n1, n2, p1, p2} (\bar{\Psi}_\alpha \Psi_{n1} \Psi_{n2} \Psi_{p1} \Psi_{p2}) \hat{a}_{n1} \hat{a}_{n2} \hat{a}_{p1} \hat{a}_{p2} \right\} \Psi_i d^3 r, \end{aligned} \quad (2)$$

где Ψ_i и Ψ_f — начальная и конечная волновые функции ядра;

Ψ_α — волновая функция α -частицы;

$\Psi_{n,p}$ — начальные волновые функции тех нейтронов и протонов, которые образовали α -частицу;

\hat{a} — операторы уничтожения соответствующих нуклонов; в фигурные скобки выделена амплитуда перехода.

В паулиевском приближении подынтегральное выражение матричного элемента сводится к некоторой функции пространственных координат, которая представима в виде разложения по ортонормированным сферическим функциям. Тогда матричный элемент (2) можно записать в виде

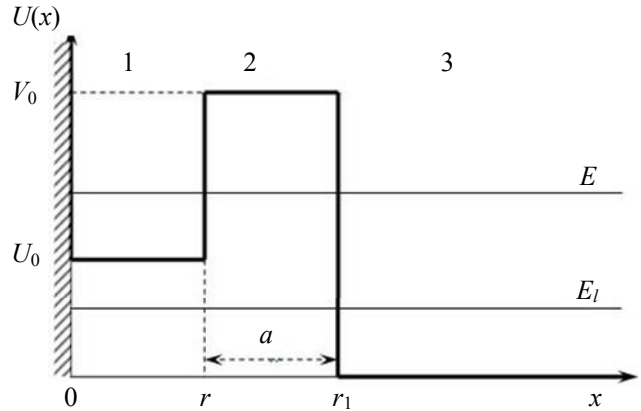
$$M_\alpha \propto \int_N \psi_\alpha^+ \mathfrak{R}_\alpha(\mathbf{r}) d^3 r. \quad (3)$$

В этом приближении волновая функция α -частицы является решением волнового уравнения Шредингера движения α -частицы в поле ядерных сил.

Волновая функция α -частицы при α -распаде может быть проанализирована на примере решения модельной одномерной (вдоль оси x) задачи с прямоугольным потенциалом [10]. Выберем значения потенциальной энергии следующим образом:

$$U(x) = \begin{cases} \infty & x < 0 \\ U_0 & 0 < x < r \\ V_0 > U_0 & r < x < r_1 = r + a \\ 0 & r_1 < x \end{cases}. \quad (4)$$

Обратим внимание, что в общем случае для различных ядер потенциал U_0 в (4) может быть как положительным (например, для α -активных ядер), так и отрицательным. Для наглядности зависимость $U(x)$ изображена на рисунке, где можно выделить три характерные области значений потенциальной энергии.



Потенциальная энергия модельной задачи

Волновая функция (решение уравнения Шредингера) для указанных трех областей будет иметь вид:

$$\begin{aligned} \frac{\psi(x)}{\psi_0} &= \\ &= \begin{cases} \sin(k_0 x) & 0 < x < r \\ B_1 \exp[-\kappa(x-r)] + B_2 \exp[\kappa(x-r)] & r < x < r_1, \\ A \exp[ik(x-r_1)] & r_1 < x < \infty \end{cases} \end{aligned} \quad (5)$$

где ψ_0 — нормировочный множитель. При этом имеем следующие очевидные соотношения:

$$\begin{aligned} k_0^2 &= 2m(E - U_0) > 0, \\ \kappa^2 &= 2m(V_0 - E) > 0, \\ k^2 &= 2mE > 0, \end{aligned} \quad (6)$$

где E — энергия α -частицы. При этом в областях 1 и 3 волновая функция описывает реальную частицу, а внутри барьера (область 2) — виртуальную.

Из условий непрерывности ψ -функции (5) и ее производной получаем систему алгебраических уравнений:

$$\begin{aligned} B_2 + B_1 &= \sin(k_0 r), \\ B_2 - B_1 &= \frac{k_0}{\kappa} \cos(k_0 r), \\ A &= B_2 \exp(i\kappa a) + B_1 \exp(-i\kappa a), \\ A \frac{ik}{\kappa} &= B_2 \exp(i\kappa a) - B_1 \exp(-i\kappa a). \end{aligned} \quad (7)$$

Из первой пары уравнений (7) получаем:

$$\begin{aligned} B_1 &= \frac{1}{2} \left(\sin(k_0 r) - \frac{k_0}{\kappa} \cos(k_0 r) \right), \\ B_2 &= \frac{1}{2} \left(\sin(k_0 r) + \frac{k_0}{\kappa} \cos(k_0 r) \right), \end{aligned} \quad (8)$$

из второй пары уравнений (7) получаем:

$$\begin{aligned} B_1 &= \frac{A}{2} \left(1 - i \frac{k}{\kappa} \right) \exp(\kappa a), \\ B_2 &= \frac{A}{2} \left(1 + i \frac{k}{\kappa} \right) \exp(-\kappa a). \end{aligned} \quad (9)$$

Условие совместности (8) и (9) дает уравнение для нахождения энергии α -частицы:

$$\frac{1+i\frac{k}{\kappa}}{1-i\frac{k}{\kappa}} \exp(-2\kappa a) = \frac{\operatorname{tg}(k_0 r) + \frac{k_0}{\kappa}}{\operatorname{tg}(k_0 r) - \frac{k_0}{\kappa}}. \quad (10)$$

В обычном для α -распада случае $\kappa a \gg 1$, в первом приближении по $\exp(-\kappa a)$ получаем:

$$\begin{aligned} k_0 &= k_{\text{Re}} - ik', \quad k = \sqrt{k_{\text{Re}}^2 + 2mU_0} - ik'_1, \\ k'_1 &= k' \frac{k_{\text{Re}}}{\sqrt{k_{\text{Re}}^2 + 2mU_0}}, \\ k'r &= \frac{4}{\kappa^2} \frac{k_{\text{Re}} \sqrt{k_{\text{Re}}^2 + 2mU_0}}{\left(1 + \left(\frac{k_{\text{Re}}}{\kappa}\right)^2\right) \left(1 + \frac{k_{\text{Re}}^2 + 2mU_0}{\kappa^2}\right)} \exp(-2\kappa a), \\ A &\sim \exp(-\kappa a) \ll 1, \end{aligned} \quad (11)$$

где k_{Re} — дискретные энергетические уровни в прямоугольной яме с бесконечно высокими границами, которые находятся из решения уравнения:

$$\operatorname{tg}(k_{\text{Re}} r) = -\frac{k_{\text{Re}}}{\kappa}. \quad (12)$$

Из (11) ясно, что энергия имеет мнимую часть:

$$E = E_0 - \frac{1}{2}i\lambda, \quad \lambda = \frac{2k_{\text{Re}}}{m}k'. \quad (13)$$

Это свидетельствует о том, что волновая функция внутри ямы будет убывать со временем пропорционально $\exp(-\lambda t)$. Так как

$$k_{\text{Re}}^2 = 2m(E - U_0) = (mv)^2, \quad (14)$$

то v можно интерпретировать как классическую скорость α -частицы внутри ядра, а $(v/2r)$ — как

частоту соударений с барьером. Тогда имеем следующие соотношения:

$$\lambda = \frac{v}{2r} D_\alpha = \frac{k_{\text{Re}}}{2mr} D_\alpha, \quad D_\alpha = 4k'r. \quad (15)$$

Это значит, что вероятность туннельного прохождения α -частицы через барьер равна

$$\begin{aligned} D_\alpha &= \frac{16}{\kappa^2} \frac{k_{\text{Re}} \sqrt{k_{\text{Re}}^2 + U_0}}{\left(1 + \left(\frac{k_{\text{Re}}}{\kappa}\right)^2\right) \left(1 + \frac{k_{\text{Re}}^2 + U_0}{\kappa^2}\right)} \times \\ &\quad \times \exp\left(-2a\sqrt{2m(V_0 - E)}\right). \end{aligned} \quad (16)$$

Во внешней области 3 при удалении от ядра, т. е. при $x \rightarrow \infty$, нормировочный интеграл для функции ψ расходится из-за мнимой добавки k'_1 к волновому числу k (11):

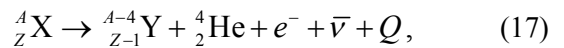
$$|\psi|^2 \propto \exp(2k'_1 x),$$

однако этот рост компенсируется экспоненциальным убыванием энергии при $t \rightarrow \infty$, согласно (13).

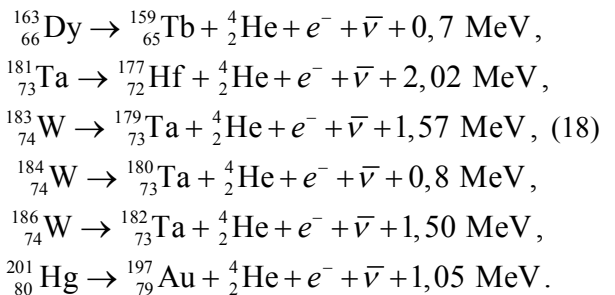
Таким образом, матричный элемент в формулах (2) и (3) дает вероятность ядерного процесса рождения α -частицы в состоянии, описываемом волновой функцией ψ , но это состояние не означает, что α -распад произошел: в этом состоянии α -частицу можно обнаружить как внутри ядра (область 1), так и снаружи. Вероятность обнаружить частицу снаружи равна вероятности туннельного проникновения через потенциальный барьер (16).

Понятие $\alpha\beta$ -распада

Несложно убедиться, что для ряда стабильных тяжелых ядер энергетически выгодным является процесс α -распада, происходящий одновременно с β -распадом (назовем этот совместный процесс " $\alpha\beta$ -распад"):



где X и Y — ядра с атомными весами A и (A — 4) и зарядами Z и (Z — 1), соответственно, $\bar{\nu}$ — антинейтрино, Q — выделяющаяся энергия. Например,



При этом по отдельности α - и β -распады $^{163}_{66}\text{Dy}$ энергетически запрещены. Существенное отличие данного процесса от классического α -распада (2) состоит в следующем: в $\alpha\beta$ -распаде (17) полная энергия (сумма масс и кинетическая энергия) конечного ядра $^{A-4}_{Z-1}\text{Y}$ и α -частицы всегда меньше массы ядра $^A_{Z+1}\tilde{X}$. Например, для первого распада из (18) сумма энергий α -частицы и $^{159}_{65}\text{Tb}$ меньше массы ядра $^{163}_{67}\text{Ho}$. Это, очевидно, следует из того,

что исходное ядро является β -стабильным. Другими словами, искусственно совмещение α -частицы и ядра $^{159}_{65}\text{Tb}$ не может дать реального ядра $^{163}_{67}\text{Ho}$ — полученное ядро может быть только “виртуальным”, т. е. с энергией, меньшей энергии основного состояния ядра $^{163}_{67}\text{Ho}$.

Все стабильные изотопы, для которых энергетически выгодным является $\alpha\beta$ -распад, приведены в таблице. В таблице указаны распадающийся изотоп, продукт и энергия $\alpha\beta$ -распада.

Изотопы, для которых энергетически выгоден $\alpha\beta$ -распад

$\alpha\beta$ -распадчик			Продукт $\alpha\beta$ -распада			Энергия $\alpha\beta$ -распада, кэВ	Энергия α -распада, кэВ	Энергия β -распада, кэВ
Имя	Z	A	Имя	Z	A			
La	57	138	Ba	56	134	0,59	-2057	1045
Nd	60	145	Pr	59	141	2159	1578	-164
Nd	60	146	Pr	59	142	437	1182	-1470
Nd	60	148	Pr	59	144	917	597	-540
Nd	60	150	Pr	59	146	651	-415	-87
Pm	61	145	Nd	60	141	499	2321	-615
Sm	62	147	Pm	61	143	1269	2311	-1720
Sm	62	149	Pm	61	145	1707	1870	-691
Eu	63	151	Sm	62	147	2189	1963	-463
Eu	63	153	Sm	62	149	1345	272	-485
Gd	64	155	Eu	63	151	158	79	-822
Gd	64	157	Eu	63	153	118	-689	-59
Tb	65	159	Gd	64	155	113	-140	-366
Dy	66	161	Tb	65	157	284	343	-859
Dy	66	163	Tb	65	159	727	-242	-1.42
Ho	67	165	Dy	66	161	733	138	-376
Er	68	167	Ho	67	163	663	666	-747
Er	68	170	Ho	67	166	537	51	-313
Tm	69	169	Er	68	165	824	1201	-908
Yb	70	171	Tm	69	167	811	1557	-1479
Yb	70	173	Tm	69	169	1297	946	-671
Yb	70	174	Tm	69	170	426	738	-1357
Yb	70	176	Tm	69	172	1462	571	-105
Lu	71	175	Yb	70	171	1716	1619	-685
Lu	71	176	Yb	70	172	3448	1568	1192
Hf	72	177	Lu	71	173	1574	2245	-1166
Hf	72	178	Lu	71	174	709	2084	-1912
Hf	72	179	Lu	71	175	2276	1807	-109
Hf	72	180	Lu	71	176	1177	1281	-854
Ta	73	180	Hf	72	176	3224	2029	708
Ta	73	181	Hf	72	177	2024	1524	-188
W	74	183	Ta	73	179	1571	1682	-556
W	74	184	Ta	73	180	804	1657	-1483
W	74	186	Ta	73	182	1496	1123	-580
Re	75	185	W	74	181	2007	2195	-1013
Re	75	187	W	74	183	2723	1651	1.34
Os	76	186	Re	75	182	26	2822	-3831
Os	76	187	Re	75	183	2165	2720	-1501
Os	76	188	Re	75	184	660	2143	-2808
Os	76	189	Re	75	185	2409	1974	-533
Os	76	190	Re	75	186	797	1377	-2000

Окончание таблицы

$\alpha\beta$ -распадчик			Продукт $\alpha\beta$ -распада			Энергия $\alpha\beta$ -распада, кэВ	Энергия α -распада, кэВ	Энергия β -распада, кэВ
Имя	Z	A	Имя	Z	A			
Os	76	192	Re	75	188	711	362	-1045
Ir	77	191	Os	76	187	2086	2084	-1019
Ir	77	193	Os	76	189	2027	1016	-55
Pt	78	195	Ir	77	191	1472	1158	-225
Pt	78	198	Ir	77	194	184	87	-324
Au	79	197	Pt	78	193	898	953	-600
Hg	80	199	Au	79	195	598	823	-1445
Hg	80	201	Au	79	197	1053	333	-483
Hg	80	204	Au	79	200	148	-512	-346
Tl	81	203	Hg	80	199	1363	909	-974
Tl	81	205	Hg	80	201	1419	143	-51
Pb	82	207	Tl	81	203	883	390	-2399
Pb	82	208	Tl	81	204	171	519	-2879
Bi	83	209	Pb	82	205	3086	3138	-1893
Th	90	232	Ac	89	228	4129	4082	-495
U	92	234	Pa	91	230	3549	4858	-1809
U	92	235	Pa	91	231	5068	4678	-123
U	92	238	Pa	91	234	4543	4269	-145

Хотя вероятность такого процесса в нормальных условиях крайне мала, сверхсильное магнитное поле может являться хорошим "катализатором". Так как в сверхсильном магнитном поле фазовый объем связанных состояний электронов, в которые может произойти β -распад, значительно возрастает [17, 18], то магнитное поле "вытягивает" электрон, который для указанных изотопов может родиться только вместе с вылетом α -частицы, т. е. "вырвавшаяся" α -частица дает необходимую энергию. Построение теории $\alpha\beta$ -распада и расчет вероятности этого процесса аналогичен расчету вероятности запрещенных β -распадов [18, 23], но при этом ядерные функции конечного состояния должны учитывать рождение α -частицы. Заметим, что при β -распаде ядра в сверхсильном магнитном поле электрон будет рождаться в связанном состоянии.

Матричный элемент перехода

Матричный элемент $\alpha\beta$ -распада, аналогично формулам (2) и (3), можно представить в виде суммы матричных элементов:

$$\begin{aligned} M_S &= \int \mathfrak{R}_V(\mathbf{r}) \bar{\Psi}_e (1 + \gamma^5) \Psi_v d^3 r, \\ M_V &= \int \mathfrak{R}_V(\mathbf{r}) \bar{\Psi}_e \gamma^0 (1 + \gamma^5) \Psi_v d^3 r, \\ M_T &= \int \mathfrak{R}_{Aj}(\mathbf{r}) \bar{\Psi}_e \gamma^0 \gamma^j (1 + \gamma^5) \Psi_v d^3 r, \\ M_A &= \int \mathfrak{R}_{Aj}(\mathbf{r}) \bar{\Psi}_e \gamma^j (1 + \gamma^5) \Psi_v d^3 r, \end{aligned} \quad (19)$$

где $\Psi_{e,v}$ — функции Дирака для электрона и нейтрино,

$$\begin{aligned} \mathfrak{R}_V(\mathbf{r}) &= \sum_{i,n1 \neq i, n2 \neq i, p1, p2} \Psi_f^+ \times \\ &\times (\Psi_\alpha^+ \Psi_{n1} \Psi_{n2} \Psi_{p1} \Psi_{p2}) \hat{a}_{n1} \hat{a}_{n2} \hat{a}_{p1} \hat{a}_{p2} \hat{\tau}_i \Psi_0, \\ \mathfrak{R}_{Aj}(\mathbf{r}) &= \sum_{i,n1 \neq i, n2 \neq i, p1, p2} \Psi_f^+ \times \\ &\times (\Psi_\alpha^+ \Psi_{n1} \Psi_{n2} \Psi_{p1} \Psi_{p2}) \hat{a}_{n1} \hat{a}_{n2} \hat{a}_{p1} \hat{a}_{p2} (\sigma_j)_i \hat{\tau}_i \Psi_0, \end{aligned} \quad (20)$$

где Ψ_0 и Ψ_f — начальная и конечная волновые функции ядра в паулиевском приближении;

$\hat{\tau}_i$ — оператор, переводящий i -й нейтрон ядра в протон (сумма по i берется по всем нейtronам ядра);

$\Psi_{\alpha,n,p}$ — волновые функции α -частицы и преобразованных в нее нейtronов и протонов;

\hat{a} — операторы уничтожения соответствующих нуклонов.

Существенное отличие волновой функции α -частицы от случая классического α -распада (2) состоит в том, что ядро, образованное из α -частицы и конечного ядра $^{A-4}_{Z-1}Y$, является виртуальным. Следовательно, в модельной задаче о волновой функции α -частицы, аналогичной (5), энергия α -частицы (E_l на рис.) должна быть меньше потенциальной энергии внутри ядра U_0 , т. е., в отличие от классического α -распада (5), (6), волновая функция α -частицы ψ будет описывать реальную частицу снаружи ядра (область 3 на рис.), но виртуальную и внутри барьера (область 2) и во внут-

ренней области ядра (область 3), т. е. α -частица рождается виртуальной:

$$\frac{\psi(x)}{\psi_0} = \begin{cases} \operatorname{sh}(\kappa_0 x) & 0 < x < r \\ B_1 \exp[-\kappa(x-r)] + B_2 \exp[\kappa(x-r)] & r < x < r_1 \\ A \sin[k(x-r_1) + \varphi] & r_1 < x < \infty \end{cases} \quad (21)$$

где ψ_0 — нормировочный множитель,

$$\begin{aligned} \kappa_0^2 &= 2m(U_0 - E_l) > 0, \\ \kappa^2 &= 2m(V_0 - E_l) > 0, \\ k^2 &= 2mE_l > 0. \end{aligned} \quad (22)$$

Коэффициенты A и B находятся из условия непрерывности волновой функции и ее производной на границах областей, аналогично (7)–(11):

$$\begin{aligned} B_2 + B_1 &= \operatorname{sh}(\kappa_0 r), \\ B_2 - B_1 &= \frac{\kappa_0}{\kappa} \operatorname{ch}(\kappa_0 r), \\ A \sin \varphi &= B_1 \exp(-ka) + B_2 \exp(ka), \\ A \frac{k}{\kappa} \cos \varphi &= B_1 \exp(-ka) - B_2 \exp(ka). \end{aligned} \quad (23)$$

Из первой пары уравнений (23) получаем:

$$\begin{aligned} B_1 &= \frac{1}{2} \left(\operatorname{sh}(\kappa_0 r) - \frac{\kappa_0}{\kappa} \operatorname{ch}(\kappa_0 r) \right), \\ B_2 &= \frac{1}{2} \left(\operatorname{sh}(\kappa_0 r) + \frac{\kappa_0}{\kappa} \operatorname{ch}(\kappa_0 r) \right), \end{aligned} \quad (24)$$

из второй пары уравнений (23):

$$\begin{aligned} B_1 &= \frac{A}{2} \left(\sin \varphi + \frac{k}{\kappa} \cos \varphi \right) \exp(ka), \\ B_2 &= \frac{A}{2} \left(\sin \varphi - \frac{k}{\kappa} \cos \varphi \right) \exp(-ka). \end{aligned} \quad (25)$$

Условие совместимости (24) и (25) дает уравнение для нахождения начальной фазы φ , на которую никаких ограничений нет:

$$\begin{aligned} \frac{\operatorname{tg} \varphi - \frac{k}{\kappa}}{\operatorname{tg} \varphi + \frac{k}{\kappa}} \exp(-2ka) &= \frac{\operatorname{th}(\kappa_0 r) + \frac{\kappa_0}{\kappa}}{\operatorname{th}(\kappa_0 r) - \frac{\kappa_0}{\kappa}}, \\ \operatorname{tg} \varphi &= \\ &= -\frac{k}{\kappa} \frac{\operatorname{th}(\kappa_0 r) + \frac{\kappa_0}{\kappa} + \exp(-2ka) \left(\operatorname{th}(\kappa_0 r) - \frac{\kappa_0}{\kappa} \right)}{\operatorname{th}(\kappa_0 r) + \frac{\kappa_0}{\kappa} - \exp(-2ka) \left(\operatorname{th}(\kappa_0 r) - \frac{\kappa_0}{\kappa} \right)}. \end{aligned} \quad (26)$$

Так как область значений tg не ограничена, то (26) имеет решение. Полученная модельная волновая функция α -частицы не противоречит никаким физическим законам и представлениям. Поскольку она отлична от нуля внутри ядра, то матричные элементы распада (19) не равны нулю.

Лептонный множитель

Так как (аналогично классическому β -распаду) волновые функции лептонов (электрона и нейтрино) мало меняются на размерах ядра, то лептонный множитель можно вынести из-под интеграла ядерного матричного элемента. Функции \mathfrak{R}_V и \mathfrak{R}_{Aj} (20), зависящие от пространственных координат, всегда можно представить в виде разложения по ортонормированным сферическим функциям [24] (сферические координаты r, φ, θ):

$$\begin{aligned} \psi(r, \varphi, \theta) &= \sum_{l=0}^{\infty} \sum_{m=-l}^l a_{lm}(r) Y_l^m(\varphi, \theta), \\ a_{lm}(r) &= \int_0^{2\pi} \int_0^{\pi} \sin \theta Y_l^m(\varphi, \theta)^* \psi(r, \varphi, \theta) d\theta d\varphi, \end{aligned} \quad (27)$$

где

$$Y_l^m(\varphi, \theta) = \sqrt{\frac{(l-m)!}{(l+m)!} \frac{(2l+1)}{4\pi}} P_l^m(\cos \theta) e^{im\varphi}, \quad (28)$$

$P_l^m(\cos \theta)$ — присоединенные полиномы Лежандра.

В этом случае (как и в случае классических β -распадов) при вычислении квадрата матричного элемента (19) ядерную часть матричного элемента можно вынести из-под знака суммирования по лептонным состояниям и квадрат каждого матричного элемента (19) равен

$$|M_i|^2 = |M_{Ni}|^2 f_s(Z, Q), \quad (29)$$

где $M_{Ni} = \int \mathfrak{R}_i(r) r^s Y_s(\theta, \varphi) d^3 r$ — соответствующий первый ненулевой момент ядерной части матричного элемента;

f_s — интегральная функция Ферми, определяющая фазовый объем конечных лептонных состояний;

Q — энергия ядерного перехода.

В невозмущенном случае (т. е. при отсутствии внешнего магнитного поля) имеем:

$$f_s(Z, Q) = \int_1^Q F(Z, E) E \sqrt{E^2 - 1} (Q - E)^2 S_s dE, \quad (30)$$

где F — функция Ферми, учитывающая отличие плотности электронов на ядре от плотности свободных частиц;

S_s — невозмущенный формфактор уникально-запрещенного спектра порядка запрета s [25].

При наложении на атом внешнего сверхсильного (в атомном масштабе) магнитного поля происходит “взрывное” увеличение лептонного фазового объема f за счет увеличения плотности свободных состояний электронов дискретного спектра. При этом можно считать, что такие магнитные поля малы в “ядерном” масштабе и ядерные части матричных элементов практически не меняются [17, 18]. В [17] вычислены волновые функции электрона во внешнем постоянном однородном сверхсильном магнитном поле и центральном электрическом поле ядра в цилиндрических координатах. В [18] эти решения преобразованы в сферические координаты, вычислены коэффициенты разложения произведений $\psi_e^{(t)*}\psi_v^{(i)}$ (для всех компонент спиноров t и i) по сферическим функциям. Спектр связанных состояний электронов приведен в [18]

$$E_{N\kappa}^2 = E_0^2(N) \left[1 + \left(\frac{\alpha Z}{\chi} \right)^2 \right]^{-1}, \quad (31)$$

где $E_0 = \sqrt{1+2N\gamma}$, N — номер уровня Ландау по перечного движения; γ — напряженность магнитного поля (в обычных единицах $\gamma = (\epsilon\hbar)^{-1}eH$); κ — квантовое число продольного движения для основного уровня продольного движения, а значение

$$\chi_0^{-1} \sim \ln \left(\frac{\gamma}{4E_0^2(\alpha Z)^2} \right). \quad (32)$$

При больших напряженностях магнитного поля параметры κ отличаются от целых чисел $\chi = K + \delta\kappa$ на величину [26]:

$$\delta\chi = \left[\ln \left(\frac{\sqrt{\gamma}}{2E_0\alpha Z} \right) + \ln(K) \right]^{-1}. \quad (33)$$

Сумма лептонного фазового объема по всем состояниям нейтрино и электронов в состояниях на уровне Ландау N , соответствующего квантовому числу продольного движения κ , для сферической функции порядка s равен:

$$f_{sN\chi} \propto B_\chi \frac{\alpha Z}{\chi} \gamma(Q - E_{N\chi})^2 S_s^H(E_{N\chi}, Q), \quad (34)$$

где $B_\chi \equiv |W(\varpi_\chi)|^2$, $W(\varpi_\chi)$ — значение функции

Уиттекера в точке нуля производной; S_s^H —

формфактор запрещенного распада в магнитном поле:

$$S_s^H(E, Q) = \sum_{l=0}^s T_l^s (N\gamma)^l (Q - E)^{2(s-l)}. \quad (35)$$

Соответствующие коэффициенты T приведены в [18]. Сумма лептонного фазового объема (34) по всем электронным состояниям дискретного спектра равна:

$$f_s \propto \sum_\chi \left(\frac{B_\chi}{\chi} \alpha Z \sum_{N=1}^{N_{\max}} \gamma(Q - E_{N\chi})^2 S_s^H(E_{N\chi}, Q) \right), \quad (36)$$

$$N_{\max} = \frac{Q^2(1+2\epsilon)-1}{2\gamma}, \quad \epsilon = \frac{1}{2} \left(\frac{\alpha Z}{\chi} \right)^2.$$

Коэффициенты B_χ ограничены снизу, так как из [27] вытекает, что

$$W(\varpi_\chi) \sim \frac{(-1)^\chi}{\pi} \varpi_\chi^{1/4} \Gamma\left(\chi + \frac{1}{4}\right) \cos\left(2\sqrt{\chi\varpi_\chi} + \frac{\pi}{4}\right) \times$$

$$\times \left[1 + O\left(\frac{1}{\sqrt{\chi}}\right) \right],$$

$$B_\chi = |W(\varpi_\chi)|^2 \rightarrow \infty \quad \text{при } \chi \rightarrow \infty,$$

т. е. формально сумма (36) расходится, и основной вклад в вероятность β -распада дают именно возбужденные состояния продольного движения.

Для разрешенных и уникально-запрещенных $\alpha\beta$ -распадов среди матричных элементов (19) только один является подавляющим, и в этих случаях очевидно, что вероятность распада пропорциональна квадрату этого матричного элемента. Таким образом, вероятность распада пропорциональна функции Ферми f , которая в сверхсильном магнитном поле пропорциональна фазовому объему связанных состояний электронов (36) и фазовому объему нейтрино. Поскольку последний пропорционален квадрату энергии нейтрино, то для распада в связанное состояние электрона вероятность распада пропорциональна квадрату выделяющейся в ядерном процессе энергии Q :

$$\lambda_{\alpha\beta} \propto Q^2 \sum_\chi \left(\frac{B_\chi}{\chi} \right). \quad (38)$$

Для запрещенных (неуникальных) распадов среди матричных элементов (19) найдутся такие, которые будут иметь близкие значения, и вероятность распада будет вычисляться более сложным образом. Но в любом случае для оценки всегда можно использовать выражение (38).

Заключение

Проведенное аналитическое рассмотрение приводит к выводу, что в сверхсильном магнитном поле (таком, что ларморовский радиус электрона становится малым по сравнению с боровским радиусом) фазовый объем незанятых лептонных состояний неограниченно возрастает, т. е. наблюдается так называемый "взрыв фазового объема". Это приводит к росту вероятностей ядерных распадов с рождением электрона. Энергетически разрешенные ядерные процессы, в которых одновременно с α -распадом происходит β -распад в связанное состояние (" $\alpha\beta$ -распад"), в сверхсильном магнитном поле могут приобрести конечные вероятности за счет "взрыва лептонного фазового объема".

Авторы обращают внимание читателей на то, что в предлагаемой работе не доказывается существование гипотетического явления $\alpha\beta$ -распада, а предлагается лишь качественное рассмотрение гипотезы и показывается, что данная гипотеза не противоречит физическим законам. Фактически сообщается "наблюдение" того обстоятельства, что ряд стабильных ядер имеют энергетически выгодный канал распада, при котором одновременно задействованы и слабые, и сильные ядерные взаимодействия. Кроме того, предлагается гипотетическая возможность увеличения вероятности такого процесса в сверхсильных магнитных полях нейтронных звезд.

Работа выполнена при частичной поддержке аналитической ведомственной целевой программы "Развитие научного потенциала высшей школы", проект № 2.1.1/2840.

Литература

1. Segre E. // Phys. Rev. 1947. V. 71. P. 274.
2. Segrè E., Wiegand C. E. // Ibid. 1949. V. 75. No. 1 P. 39; Leininger R. F., Segrè E., Wiegand C. E. // Ibid. V. 76. No. 7. P. 897.
3. Bainbridge K. T., Goldhaber M. // Ibid. 1951. V. 84. No. 6. P. 1260.
4. Bahcall J. N. // Phys. Rev. 1961. V. 124. No. 2. P. 495; Баткин И. С. // Известия АН СССР, сер. Физ. 1976. Т. 40. № 6. С. 1279; Takahashi K., Yokoi K. // Nucl. Phys. A. 1983. V. 404. No. 3. P. 578; Takahashi K., Boyd R. N., Mathews G. J., Yokoi K. // Phys. Rev. C. 1987. V. 36. No. 4. P. 1522.
5. Сивухин Д. В. Общий курс физики. Т. 5. Атомная и ядерная физика. — М.: Физматлит, 2002; Мухин К. Н. Экспериментальная ядерная физика. Т. 1. — М.: Атомиздат, 1974.
6. Jung M., Bosch F., Beckert K. et al. // Phys. Rev. Lett. 1992. V. 69. No. 15. P. 2164.
7. Bosch F., Faestermann T., Friese J. et al. // Ibid. 1996. V. 77. No. 26. P. 5190.
8. Кадомцев Б. Б. // ЖЭТФ. 1970. Т. 58. № 5. С. 1765; Кадомцев Б. Б., Кудрявцев В. С. // Письма в ЖЭТФ 1971. Т. 13. № 1. С. 61; Кадомцев Б. Б., Кудрявцев В. С. // ЖЭТФ. 1972. Т. 62. № 1. С. 144.
9. Ландау Л. Д., Лишин Е. М. Квантовая механика. — М.: Физматлит, 2001; Соколов А. А., Тернов И. М. Релятивистский электрон. — М.: Наука, 1974.
10. Соколов А. А., Тернов И. М., Жуковский В. Ч. Квантовая механика. — М.: Наука, 1979.
11. Duez M. D., Liu Y. T., Shapiro S. L. et al. // Phys. Rev. D. 2006. V. 73. P. 104015; Potekhin A. Y., Chabrier G., Shibanov Yu. A. // Phys. Rev. E. 1999. V. 60. No. 2. P. 2193; Яковлев Д. Г., Левенфиши К. П., Шибанов Ю. А. // УФН. 1999. Т. 169. № 8. С. 825.
12. Крайнов В. П., Смирнов М. Б. // УФН. 2000. Т. 170. № 9. С. 969; Косарев И. Н. // ЖТФ. 2005. Т. 75. № 10. С. 73; Ложскарев В. В., Гаранин С. Г., Герке Р. Р. и др. // Письма в ЖЭТФ. 2005. Т. 82. № 4. С. 196.
13. Беляев В. С., Костенко О. Ф., Лисица В. С. // Письма в ЖЭТФ. 2003. № 12. С. 784.
14. Wagner U., Tatarakis M., Gopal A. et al. // Phys. Rev. E. 2004. P. 026401.
15. Беляев В. С., Виноградов В. И., Матафонов А. П. и др. // Письма в ЖЭТФ. Т. 81. № 12. С. 753; Балыкин В. И. // Там же. 2005. Т. 81. № 5. С. 268.
16. Ораевский В. Н., Рез А. И., Семикоз В. Б. // ЖЭТФ. 1977. Т. 72. № 3. С. 820.
17. Филиппов Д. В. // ЯФ. 2007. Т. 70. № 2. С. 280.
18. Филиппов Д. В. // ЯФ. 2007. Т. 70. № 12. С. 2068.
19. Filippov D. V., Rukhadze A. A., Urutskoev L. I. // Annales Fondation Louis de Broglie. 2004. V. 29. Hors Serie 3. P. 1207.
20. Рухадзе А. А., Уруцкоев Л. И., Филиппов Д. В. // Прикладная физика. 2006. № 5. С. 8.
21. Shafeev G. A., Simakin A. V., Bozon-Verduraz F., Robert M. // Appl. Surf. Sci. 2007. V. 254. P. 1022.
22. Бор О., Моттельсон Б. Структура атомного ядра. Т. 1 — М.: Мир, 1971; Т. 2 — М.: Мир, 1977.
23. Варшалович Д. А., Москалев А. Н., Херсонский В. К. Квантовая теория углового момента. — Ленинград: Наука, 1975.
24. Джелепов Б. С., Зырянова Л. Н., Суслов Ю. П. Бетапроцессы. — М.—Л.: Наука, 1972.
25. Жилич А. Г., Монозон Б. С. // ФТТ. 1966. Т. 8. № 12. С. 3559.
26. Справочник по специальным функциям / Под ред. М. Абрамовица, И. Стиган. — М.: Наука, 1979.

Loss of stability of the heavy nuclei in a superstrong magnetic field

D. V. Filippov, L. I. Urutskoev, A. O. Biryukov

Moscow State University of Printing Arts

2A Pryanishnikov str., Moscow, 127550, Russia

E-mail: filippov-atom@ya.ru

A. A. Rukhadze

A. M. Prokhorov General Physics Institute of the Russian Academy of Sciences,

38 Vavilova str., Moscow, 119991, Russia

E-mail: rukh@fpl.gpi.ru

P. V. Belous

Moscow Institute of Physics and Technology

9 Institutskiy al, Dolgoprudnyi, Moscow region, 141700, Russia

E-mail: p.v.belous@gmail.com

Considered is the influence of an external uniform constant superstrong magnetic field such as $H >> H_0 = cm_e^2 e^3 \hbar^{-3}$ on stability of the heavy nuclei. It is shown that placing certain of stable heavy nuclei into a superstrong magnetic field can make a significant probability of decay. The nuclear canals, in which simultaneous burning of an α -particle and a β -electron in bound state occurs, become more probable.

PACS: 23.40.-s, 23.60.+e

Keywords: alpha-decay, beta-decay, weak interaction, superstrong magnetic field.

Bibliography — 27 references.

Received March 22, 2012